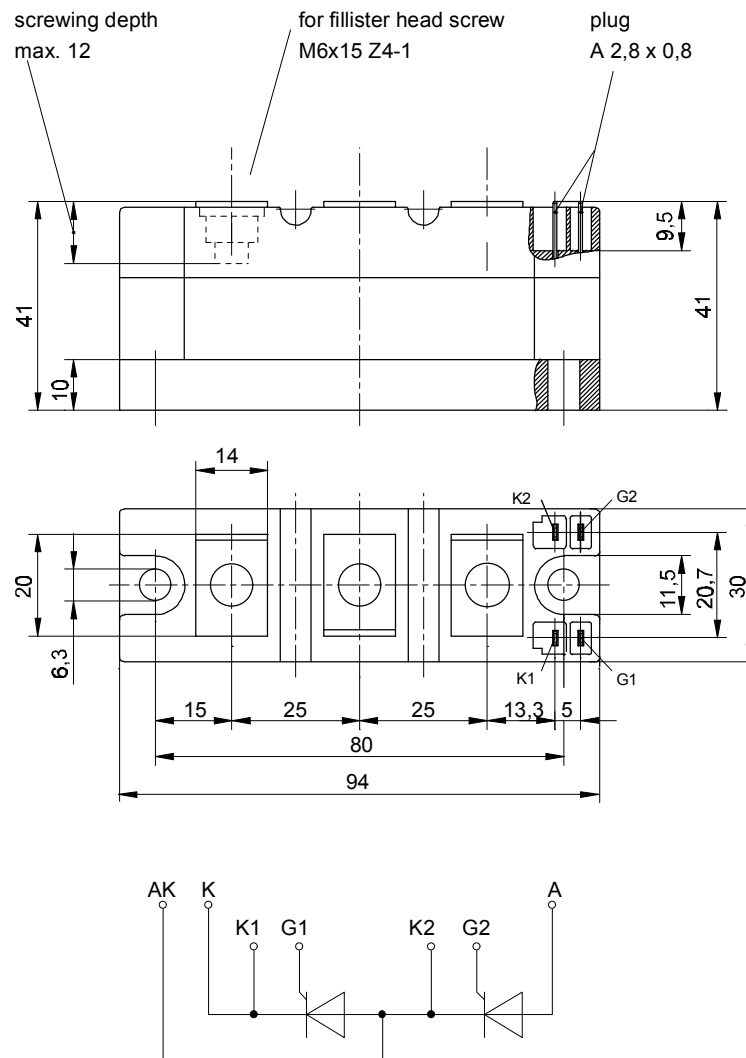




European Power-Semiconductor and Electronics Company GmbH + Co. KG

Marketing Information

TT 131 N



TT 131 N, TD 131 N, DT 131 N

Elektrische Eigenschaften

Electrical properties

Höchstzulässige Werte

Maximum rated values

Periodische Vorwärts- und Rückwärts-Spitzensperrspannung	repetitive peak forward off-state and reverse voltages	$t_{vj} = -40^{\circ}\text{C} \dots t_{vj\text{max}}$	$V_{\text{DRM}}, V_{\text{RRM}}$	600 800 1000	V
Vorwärts-Stoßspitzensperrspannung	non-repetitive peak forward off-state voltage	$t_{vj} = -40^{\circ}\text{C} \dots t_{vj\text{max}}$	$V_{\text{DSM}} = V_{\text{DRM}}$	1200 1400	V
Rückwärts-Stoßspitzensperrspannung	non-repetitive peak reverse voltage	$t_{vj} = +25^{\circ}\text{C} \dots t_{vj\text{max}}$	$V_{\text{RSM}} = V_{\text{RRM}}$	+ 100	V
Durchlaßstrom-Grenzeffektivwert	RMS on-state current	$t_c = 85^{\circ}\text{C}$	I_{TRMSM}	220	A
Dauergrenzstrom	average on-state current	$t_c = 81^{\circ}\text{C}$	I_{TAVM}	131	A
				140	A
Stoßstrom-Grenzwert	surge current	$t_{vj} = 25^{\circ}\text{C}, t_p = 10 \text{ ms}$	I_{TSM}	3600	A
		$t_{vj} = t_{vj\text{max}}, t_p = 10 \text{ ms}$		3200	A
Grenzlastintegral	$\int i^2 dt$ -value	$t_{vj} = 25^{\circ}\text{C}, t_p = 10 \text{ ms}$	$\int i^2 dt$	64800	A^2s
		$t_{vj} = t_{vj\text{max}}, t_p = 10 \text{ ms}$		51200	A^2s
Kritische Stromsteilheit	current	$V_D \leq 67\%, V_{\text{DRM}}, f_o = 50 \text{ Hz}$	$(di/dt)_{\text{cr}}$	150	$\text{A}/\mu\text{s}$
		$V_L = 10\text{V}, i_{\text{GM}} = 0,6\text{A}, di_G/dt = 0,6\text{A}/\mu\text{s}$			
Kritische Spannungssteilheit	voltage	$t_{vj} = t_{vj\text{max}}, V_D = 0,67 V_{\text{DRM}}$	$(dv/dt)_{\text{cr}}$	1000	$\text{V}/\mu\text{s}$

Charakteristische Werte

Characteristic values

Durchlaßspannung	on-state voltage	$t_{vj} = t_{vj\text{max}}, I_T = 350 \text{ A}$	V_T	max.1,48	V
Schleusenspannung	threshold voltage	$t_{vj} = t_{vj\text{max}}$	$V_{T(\text{TO})}$	0,85	V
Ersatzwiderstand	slope resistance	$t_{vj} = t_{vj\text{max}}$	r_T	1,5	$\text{m}\Omega$
Zündstrom	gate trigger current	$t_{vj} = 25^{\circ}\text{C}, V_D = 6 \text{ V}$	I_{GT}	max. 150	mA
Zündspannung	gate trigger voltage	$t_{vj} = 25^{\circ}\text{C}, V_D = 6 \text{ V}$	V_{GT}	max.1,4	V
Nicht zündender Steuerstrom	gate non-trigger current	$t_{vj} = t_{vj\text{max}}, V_D = 6 \text{ V}$	I_{GD}	max.5	mA
Nicht zündende Steuerspannung	gate non-trigger voltage	$t_{vj} = t_{vj\text{max}}, V_D = 0,5 V_{\text{DRM}}$	V_{GD}	max.0,2	V
Haltestrom	holding current	$t_{vj} = 25^{\circ}\text{C}, V_D = 6 \text{ V}, R_A = 5 \Omega$	I_H	max. 200	mA
Einraststrom	latching current	$t_{vj} = 25^{\circ}\text{C}, V_D = 6 \text{ V}, R_{\text{GK}} > = 10 \Omega$	I_L	max. 620	mA
		$i_{\text{GM}} = 0,6 \text{ A}, di_G/dt = 0,6 \text{ A}/\mu\text{s}, t_g = 20 \mu\text{s}$			
Vorwärts- und Rückwärts-Sperrstrom	forward off-state and reverse currents	$t_{vj} = t_{vj\text{max}}, V_D = V_{\text{DRM}}, V_R = V_{\text{RRM}}$	I_D, I_R	max. 25	mA
Zündverzögerung	gate controlled delay time	$t_{vj} = 25^{\circ}\text{C}, i_{\text{GM}} = 0,6 \text{ A}, di_G/dt = 0,6 \text{ A}/\mu\text{s}$	t_{gd}	max.3	μs
Freiwerdezeit	circuit commutated turn-off time	siehe Techn.Er./see Techn.Inf.	t_q	typ.180	μs
Isolations-Prüfspannung	insulation test voltage	RMS, $f = 50 \text{ Hz}, t = 1 \text{ min}$	V_{ISOL}	3	kV

Thermische Eigenschaften

Thermal properties

Innerer Wärmewiderstand	thermal resistance, junction to case	$\Theta = 180^{\circ}\text{el.sinus: pro Modul/per module}$ pro Zweig/per arm DC: pro Modul/per module pro Zweig/per arm	R_{thJC}	max.0,115 $^{\circ}\text{C}/\text{W}$ max.0,23 $^{\circ}\text{C}/\text{W}$ max.0,107 $^{\circ}\text{C}/\text{W}$ max.0,214 $^{\circ}\text{C}/\text{W}$
Übergangs-Wärmewiderstand	thermal resistance, case to heatsink	pro Modul/per module pro Zweig/per arm	R_{thCK}	max.0,03 $^{\circ}\text{C}/\text{W}$ max.0,06 $^{\circ}\text{C}/\text{W}$
Höchstzul.Sperrschichttemperatur	max. junction temperature		$t_{vj\text{max}}$	125 $^{\circ}\text{C}$
Betriebstemperatur	operating temperature		$t_{c\text{op}}$	-40...+125 $^{\circ}\text{C}$
Lagertemperatur	storage temperature		t_{stg}	-40...+130 $^{\circ}\text{C}$

Mechanische Eigenschaften

Mechanical properties

Gehäuse, siehe Seite	case, see page			1
Si-Elemente mit Druckkontakt	Si-pellet with pressure contact			
Innere Isolation	internal insulation			AIN
Anzugsdrehmoment für mechanische Befestigung	mounting torque	Toleranz/tolerance +/- 15%	M1	6 Nm
Anzugsdrehmoment für elektrische Anschlüsse	terminal connection torque	Toleranz/tolerance +5%/-10%	M2	6 Nm
Gewicht	weight		G	typ.430 g
Kriechstrecke	creepage distance			14 mm
Schwingfestigkeit	vibration resistance	$f = 50 \text{ Hz}$		5 . 9,81 m/s^2

Diese Module können auch mit gemeinsamer Anode oder gemeinsamer Kathode geliefert werden.

These modules can also be supplied with common anode or common cathode.

Recognized by UNDERWRITERS LABORATORIES INC.

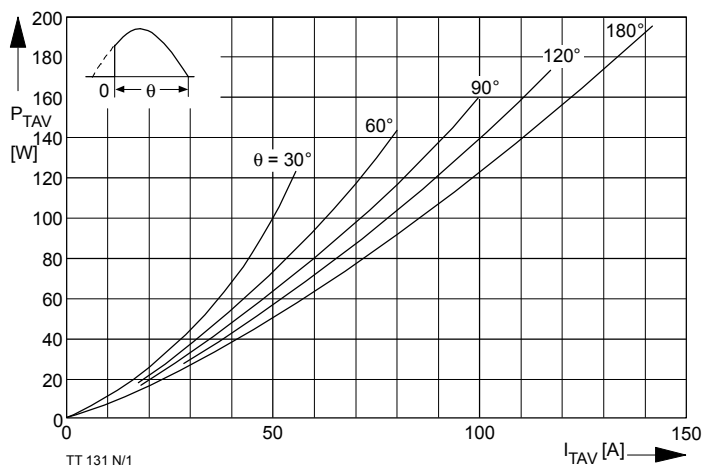


Bild / Fig. 1
 Durchlaßverlustleistung je Zweig / On-state power loss per arm
 $P_{TAV} = f(I_{TAV})$
 Parameter: Stromflußwinkel / current conduction angle θ

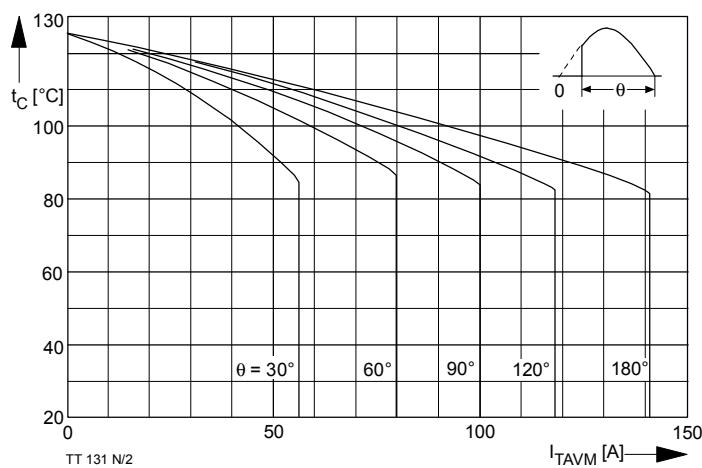


Bild / Fig. 2
 Höchstzulässige Gehäusetemperatur / Maximum allowable case temperature
 $t_C = f(I_{TAVM})$
 Strombelastung je Zweig / current load per arm
 Parameter: Stromflußwinkel / current conduction angle θ

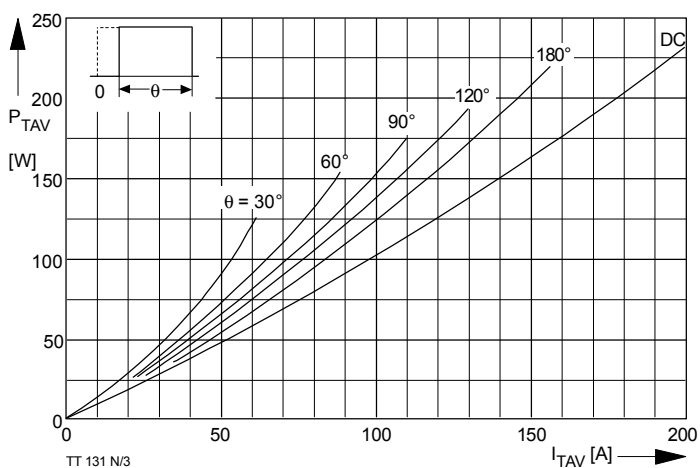


Bild / Fig. 3
 Durchlaßverlustleistung je Zweig / On-state power loss per arm
 $P_{TAV} = f(I_{TAV})$
 Parameter: Stromflußwinkel / current conduction angle θ

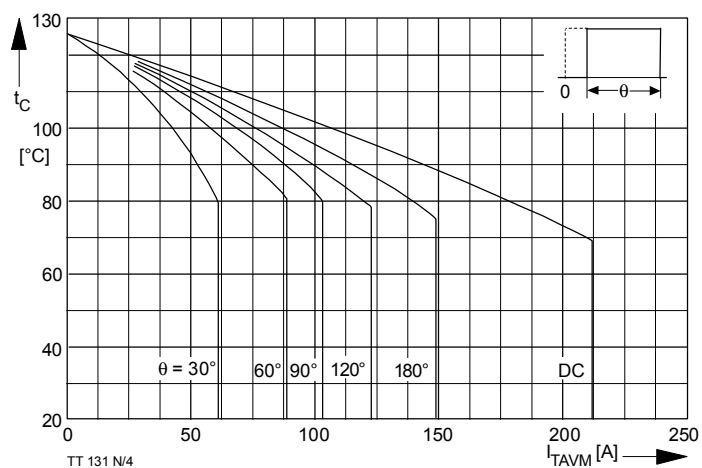


Bild / Fig. 4
 Höchstzulässige Gehäusetemperatur / Maximum allowable case temperature
 $t_C = f(I_{TAVM})$
 Strombelastung je Zweig / current load per arm
 Parameter: Stromflußwinkel / current conduction angle θ

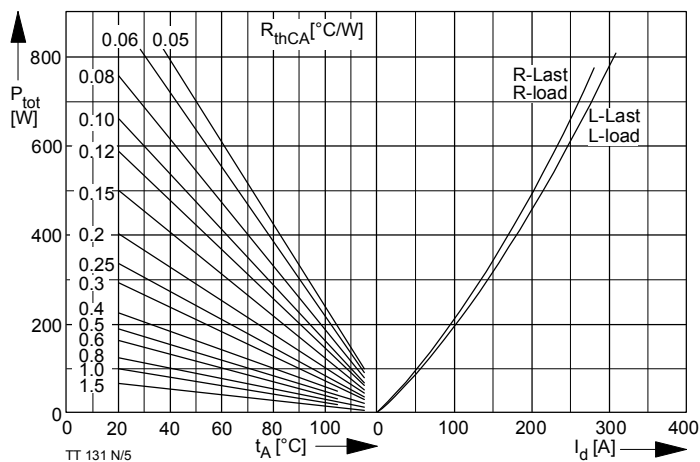


Bild / Fig. 5
 B2 - Zweipuls-Brückenschaltung / Two-pulse bridge circuit
 Höchstzulässiger Ausgangsstrom / Maximum rated output current I_d
 Gesamtverlustleist. der Schaltung / total power dissip. of the circuit P_{tot}
 Parameter: Wärmewiderstand zwischen Gehäuse und Umgebung / thermal resistance case to ambient R_{thCA}

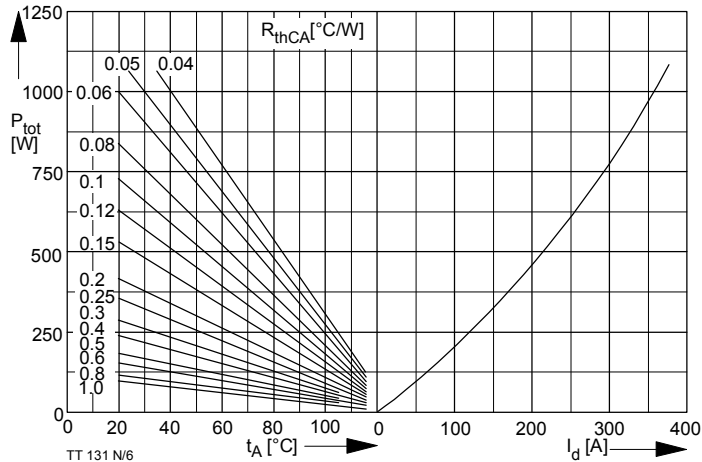


Bild / Fig. 6
 B6 - Sechspuls-Brückenschaltung / Six-pulse bridge circuit
 Höchstzulässiger Ausgangsstrom / Maximum rated output current I_d
 Gesamtverlustleist. der Schaltung / Total power dissip. of the circuit P_{tot}
 Parameter: Wärmewiderstand zwischen Gehäuse und Umgebung / thermal resistance case to ambient R_{thCA}

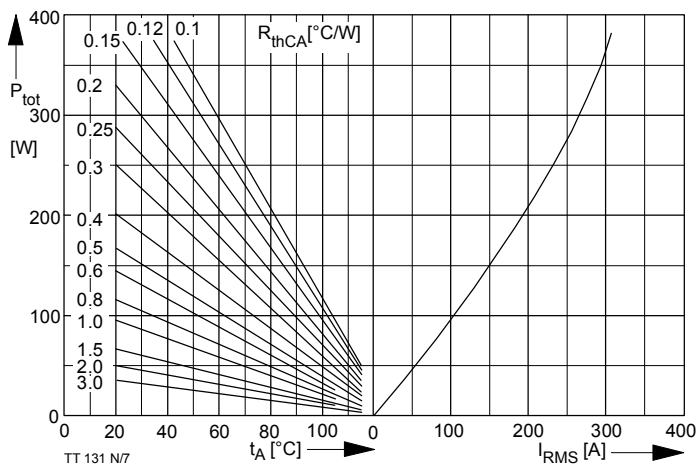


Bild / Fig. 7
 W1C - Einphasen-Wechselwegschaltung / Single-phase inverse parallel circuit
 Höchstzulässiger Effektivstrom / Maximum rated RMS current I_{RMS}
 Gesamtverlustleist. der Schaltung / Total power diss. at the circuit P_{tot}
 Parameter: Wärmewiderstand zwischen Gehäuse und Umgebung / thermal resistance case to ambient R_{thCA}

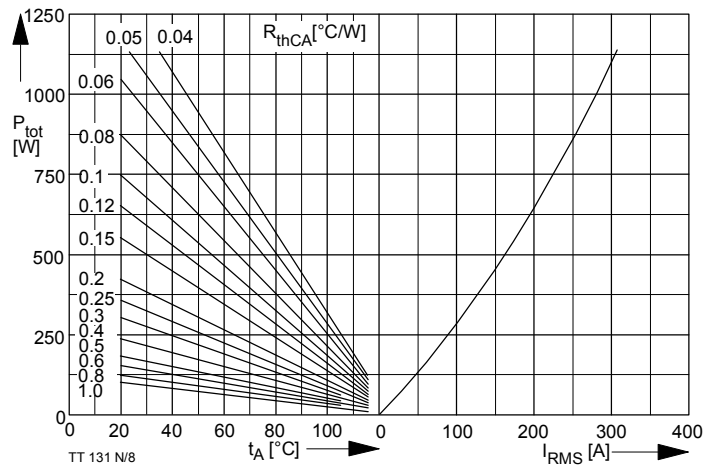


Bild / Fig. 8
 W3C - Dreiphasen-Wechselwegschaltung / Three-phase inverse parallel circuit
 Höchstzulässiger Effektivstrom je Phase / Maximum rated RMS current per phase I_{RMS}
 Gesamtverlustleist. der Schaltung / Total power diss. at the circuit P_{tot}
 Parameter: Wärmewiderstand zwischen Gehäuse und Umgebung / thermal resistance case to ambient R_{thCA}

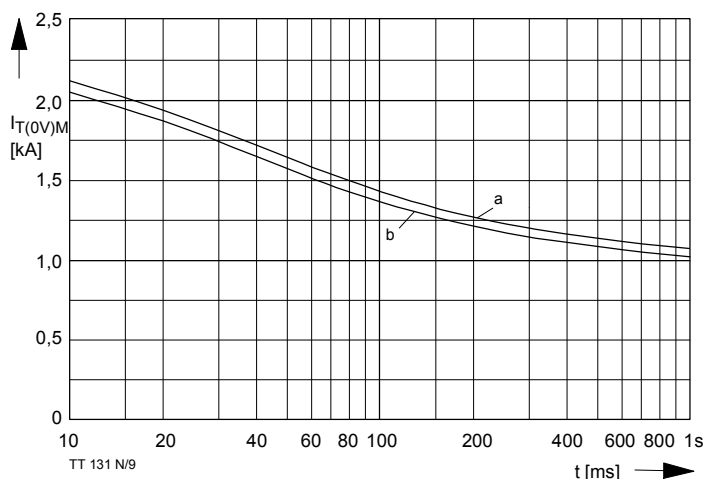


Bild / Fig. 9
 Grenzstrom je Zweig $I_{T(OV)M}$. Belastung aus Leerlauf, $V_{RM} = 0,8 V_{RRM}$
 Maximum overload on-state per arm current $I_{T(OV)M}$. Surge current under no-load conditions, $V_R = 0,8 V_{RRM}$
 a - $t_A = 35^\circ C$, verstärkte Luftkühlung / forced cooling
 b - $t_A = 45^\circ C$, Luftselbstkühlung / natural cooling

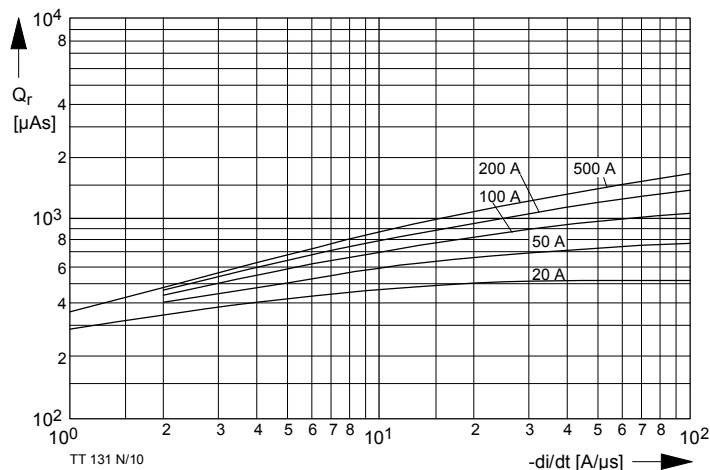


Bild / Fig. 10
 Sperrverzögerungsladung / Recovery charge $Q_r = f(-di/dt)$
 $t_{vj} = t_{vjmax}$, $V_R \leq 0,5 V_{RRM}$, $V_{RM} = 0,8 V_{RRM}$
 Parameter: Durchlaßstrom / On-state current I_{TM}

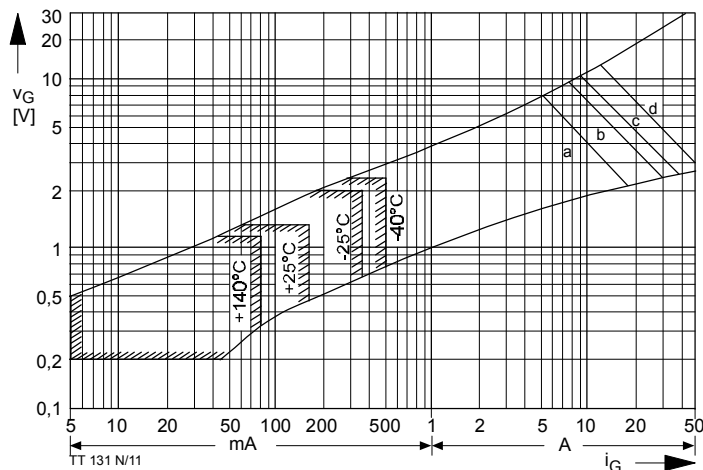


Bild / Fig. 11
 Steuercharakteristik mit Zündbereichen / Gate characteristic with triggering areas, $v_G = f(i_G)$, $v_D = 6 V$
 Parameter:

	a	b	c	d
Steuerimpulsdauer / Pulse duration t_g [ms]	10	1	0,5	0,1
Höchstzulässige Spitzensteuerleistung / Maximum allowable peak gate power [W]	40	80	100	150

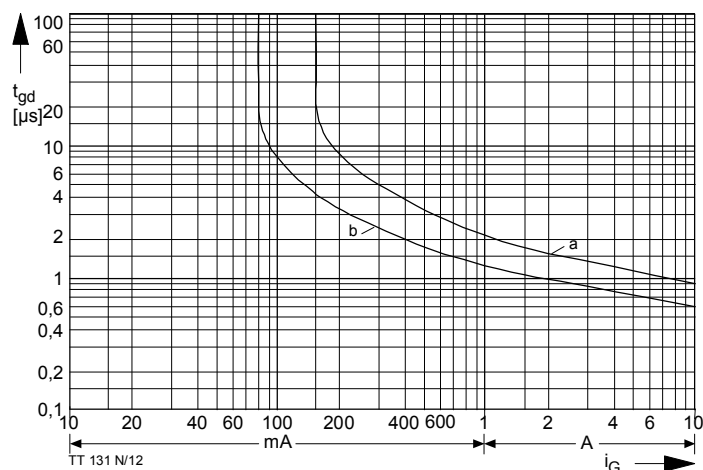


Bild / Fig. 12
 Zündverzögerung / Gate controlled delay time $t_{gd} = f(i_G)$
 $t_{vj} = 25^\circ C$, $di_G/dt = i_{GM}/1\mu s$
 a - äußerster Verlauf / limiting characteristic
 b - typischer Verlauf / typical characteristic

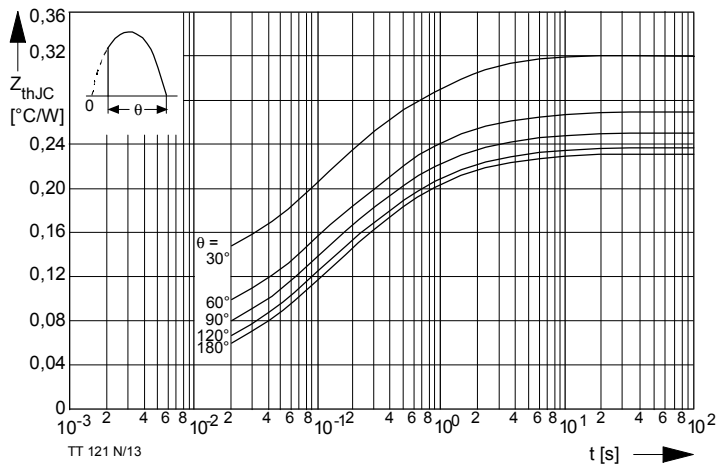


Bild / Fig. 13
 Transienter innerer Wärmewiderstand je Zweig / Transient thermal impedance per arm $Z_{(th)JC} = f(t)$
 Parameter: Stromflußwinkel / current conduction angle θ

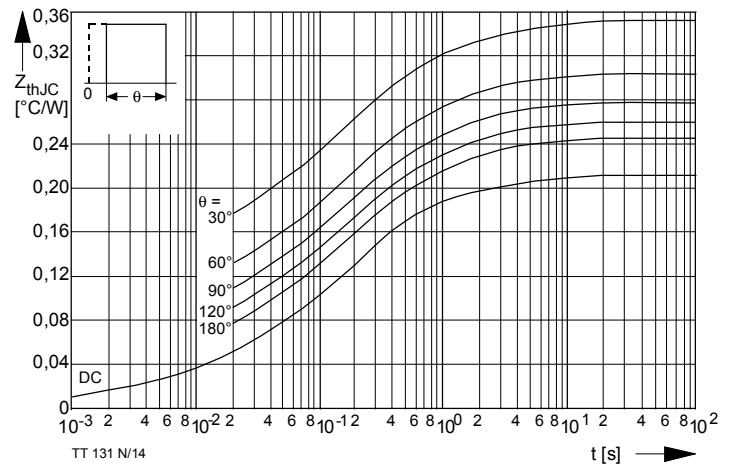


Bild / Fig. 14
 Transienter innerer Wärmewiderstand je Zweig / Transient thermal impedance per arm $Z_{(th)JC} = f(t)$
 Parameter: Stromflußwinkel / current conduction angle θ

Analytische Elemente des transienten Wärmewiderstandes Z_{thJC} pro Zweig für DC
 Analytical elements of transient thermal impedance Z_{thJC} per arm for DC

Pos. n	1	2	3	4	5	6	7
$R_{thn} [°C/W]$	0,00956	0,025	0,0763	0,0726	0,0305		
$\tau_n [s]$	0,00089	0,0078	0,086	0,412	2,45		

Analytische Funktion / Analytical function:

$$Z_{thJC} = \sum_{n=1}^{n_{max}} R_{thn} (1 - e^{-\frac{t}{\tau_n}})$$